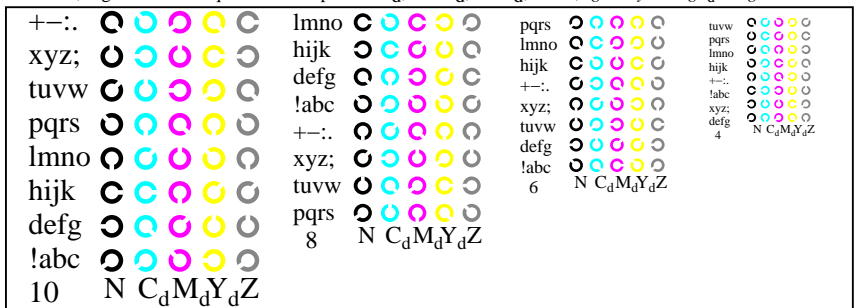
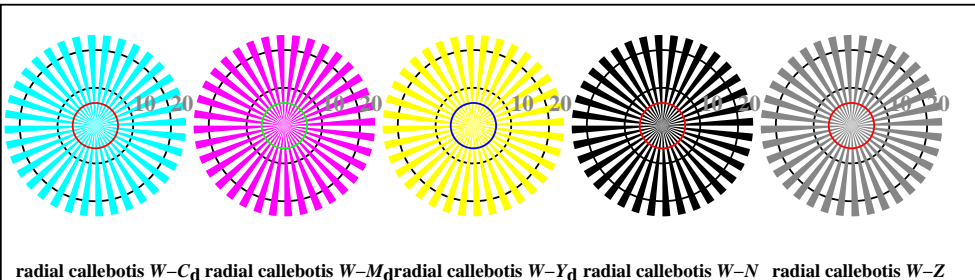


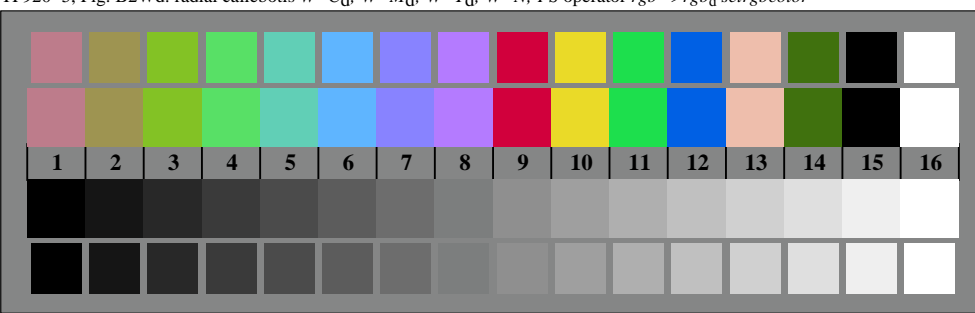
TF921-1, Fig. B4Wd: 16 équidistants étapes  $W-C_d$ ;  $W-M_d$ ;  $W-Y_d$ ;  $W-N$ ;  $rgb/cmy0 \rightarrow rgb_d$  setrgbcolor



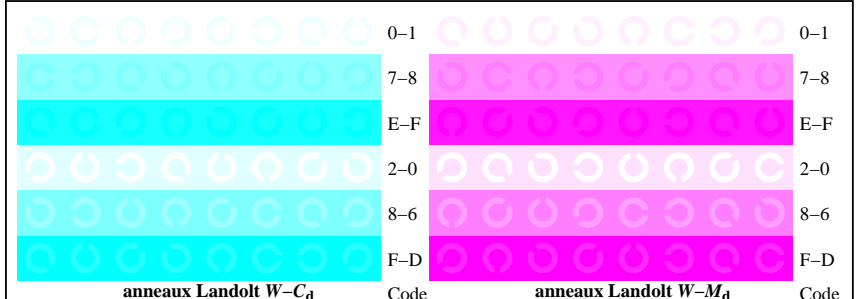
TF921-3, Fig. B5Wd: code et Landolt annulus;  $N$ ;  $C_d$ ;  $M_d$ ;  $Y_d$ ;  $Z$ ; PS operator  $rgb \rightarrow rgb_d$  setrgbcolor



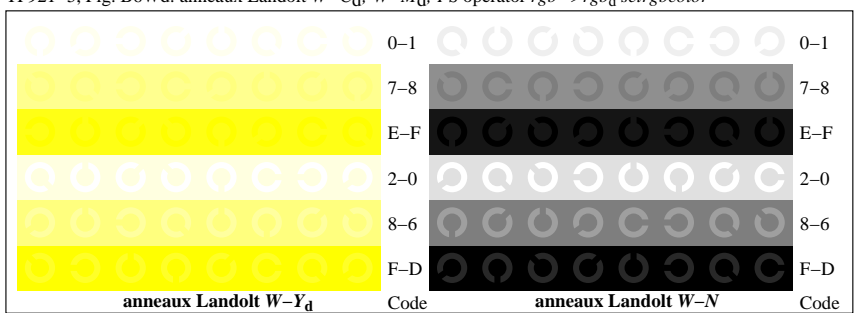
TF920-5, Fig. B2Wd: radial callebotis  $W-C_d$ ;  $W-M_d$ ;  $W-Y_d$ ;  $W-N$ ; PS operator  $rgb \rightarrow rgb_d$  setrgbcolor



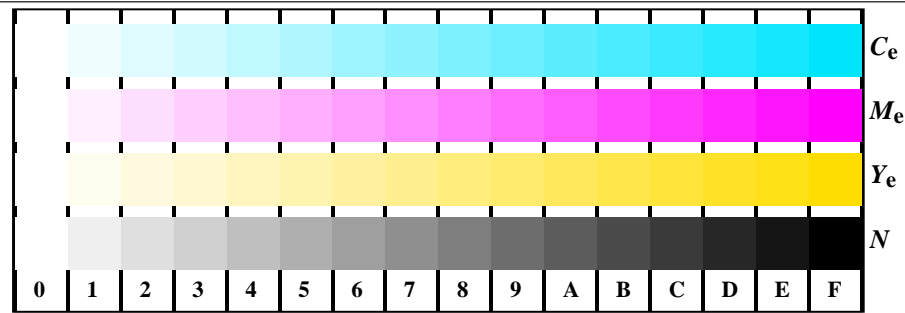
TF920-7, Fig. B3Wd: 14 CIE test couleurs et 2 + 16 gris étapes (sf);  $rgb/cmy0 \rightarrow rgb_d$  setrgbcolor



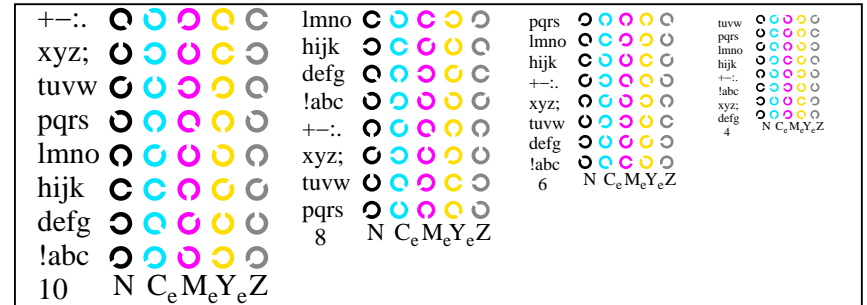
TF921-5, Fig. B6Wd: anneaux Landolt  $W-C_d$ ;  $W-M_d$ ; PS operator  $rgb \rightarrow rgb_d$  setrgbcolor



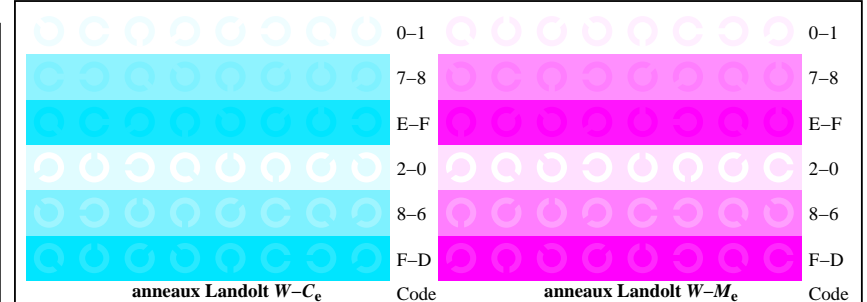
TF921-7, Fig. B7Wd: anneaux Landolt  $W-Y_d$ ;  $W-N$ ; PS operator  $rgb \rightarrow rgb_d$  setrgbcolor



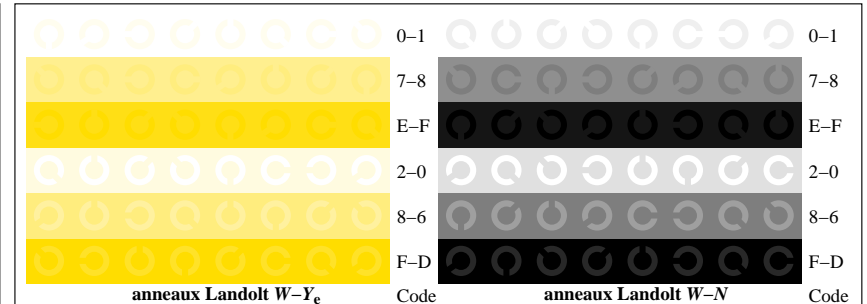
TF921-1, Fig. B4We: 16 équidistants étapes  $W-C_e$ ;  $W-M_e$ ;  $W-Y_e$ ;  $W-N$ ;  $rgb/cmy0 \rightarrow rgb_e$  *setrgbcolor*



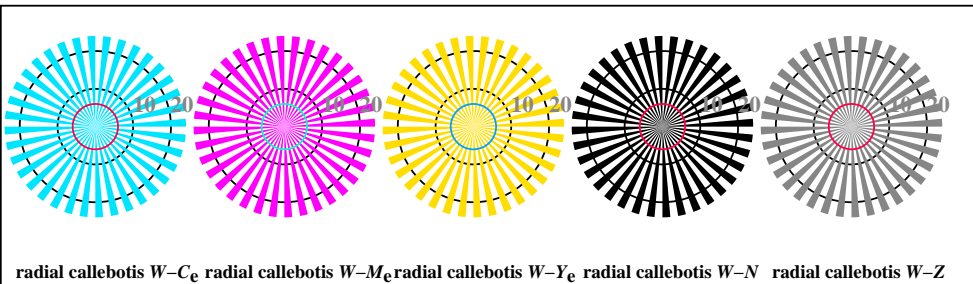
TF921-3, Fig. B5We: code et Landolt anneau  $N$ ;  $C_e$ ;  $M_e$ ;  $Y_e$ ;  $Z$ ; *PS operator*  $rgb \rightarrow rgb_e$  *setrgbcolor*



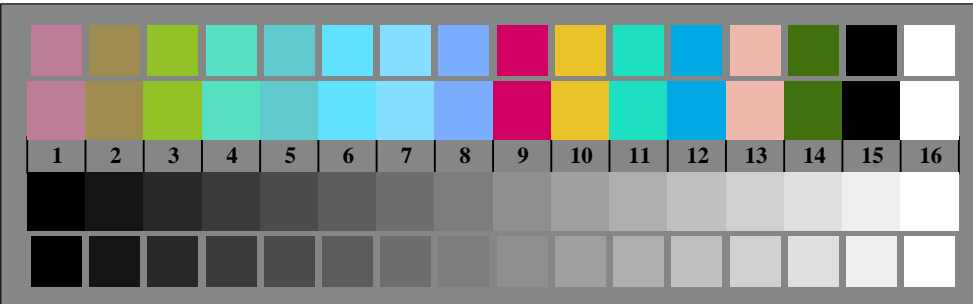
TF921-5, Fig. B6We: anneaux Landolt  $W-C_e$ ;  $W-M_e$ ;  $W-Y_e$ ;  $W-N$ ; *PS operator*  $rgb \rightarrow rgb_e$  *setrgbcolor*



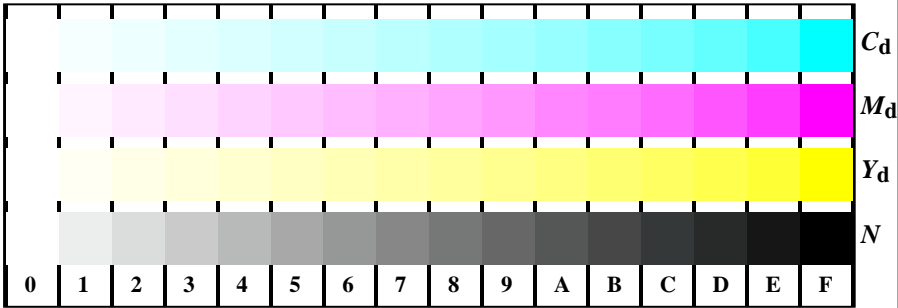
TF921-7, Fig. B7We: anneaux Landolt  $W-Y_e$ ;  $W-N$ ; *PS operator*  $rgb \rightarrow rgb_e$  *setrgbcolor*



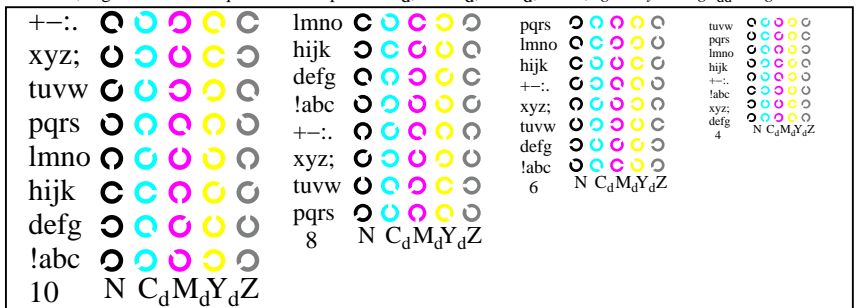
TF920-5, Fig. B2We: radial callobotis  $W-C_e$ ;  $W-M_e$ ;  $W-Y_e$ ;  $W-N$ ; *PS operator*  $rgb \rightarrow rgb_e$  *setrgbcolor*



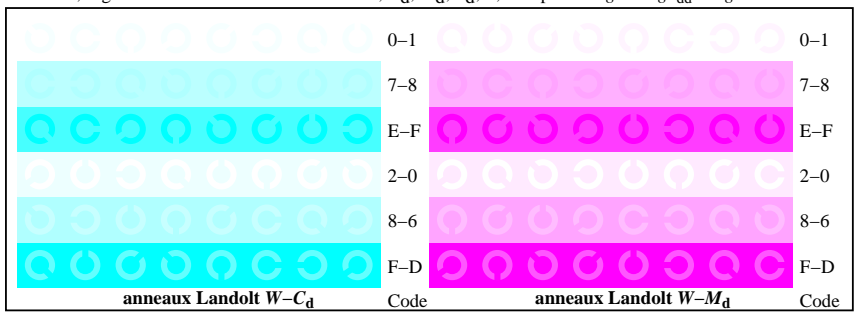
TF920-7, Fig. B3We: 14 CIE test couleurs et 2 + 16 gris étapes (sf);  $rgb/cmy0 \rightarrow rgb_e$  *setrgbcolor*



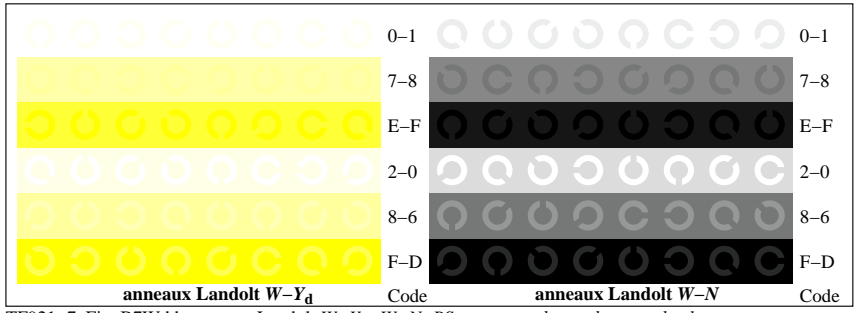
TF921-1, Fig. B4Wdd: 16 équidistants étapes  $W-C_d$ ;  $W-M_d$ ;  $W-Y_d$ ;  $W-N$ ;  $rgb/cmy0 \rightarrow rgb_{dd}$  setrgbcolor



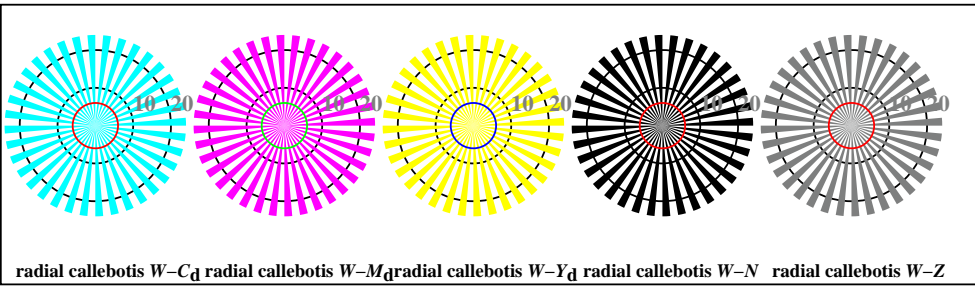
TF921-3, Fig. B5Wdd: code et Landolt anneauN;  $C_d$ ;  $M_d$ ;  $Y_d$ ;  $Z$ ; PS operator  $rgb \rightarrow rgb_{dd}$  setrgbcolor



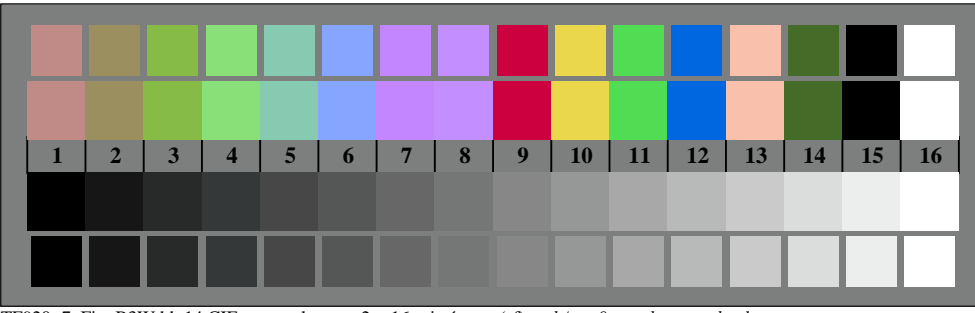
TF921-5, Fig. B6Wdd: anneaux Landolt  $W-C_d$ ;  $W-M_d$ ; PS operator  $rgb \rightarrow rgb_{dd}$  setrgbcolor



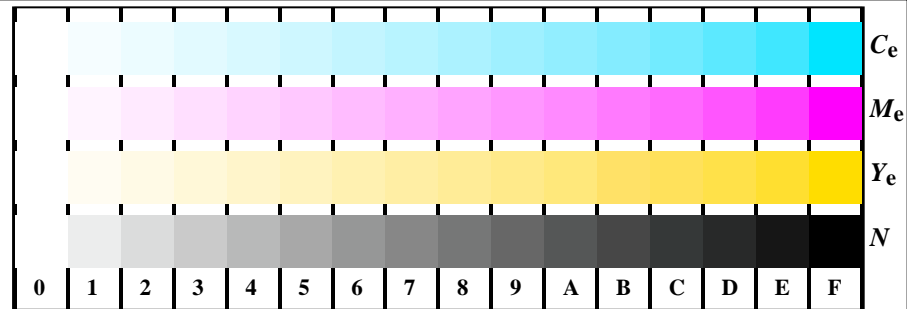
TF921-7, Fig. B7Wdd: anneaux Landolt  $W-Y_d$ ;  $W-N$ ; PS operator  $rgb \rightarrow rgb_{dd}$  setrgbcolor



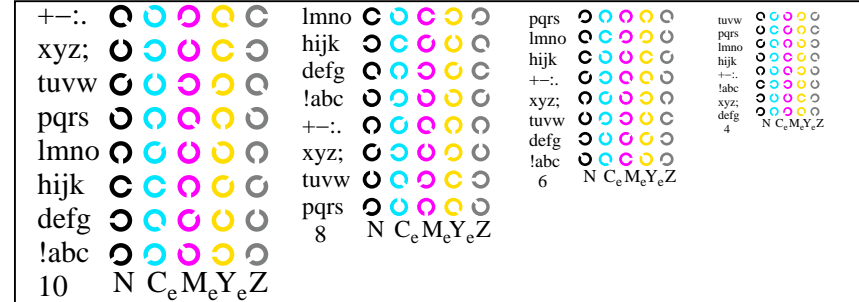
TF920-5, Fig. B2Wdd: radial callebotis  $W-C_d$ ;  $W-M_d$ ;  $W-Y_d$ ;  $W-N$ ; PS operator  $rgb \rightarrow rgb_{dd}$  setrgbcolor



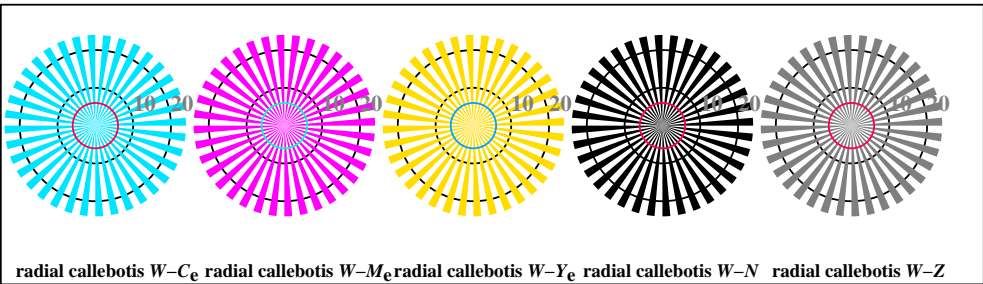
TF920-7, Fig. B3Wdd: 14 CIE test couleurs et 2 + 16 gris étapes (sf);  $rgb/cmy0 \rightarrow rgb_{dd}$  setrgbcolor



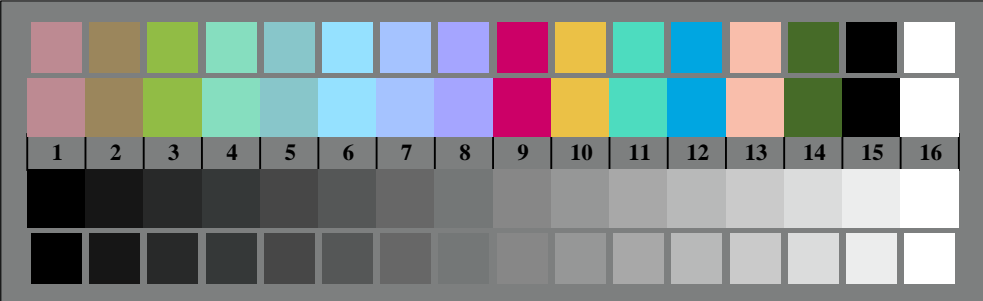
TF921-1, Fig. B4Wde: 16 équidistants étapes  $W-C_e$ ;  $W-M_e$ ;  $W-Y_e$ ;  $W-N$ ;  $rgb/cmy_0 \rightarrow rgb_{de}$  setrgbcolor



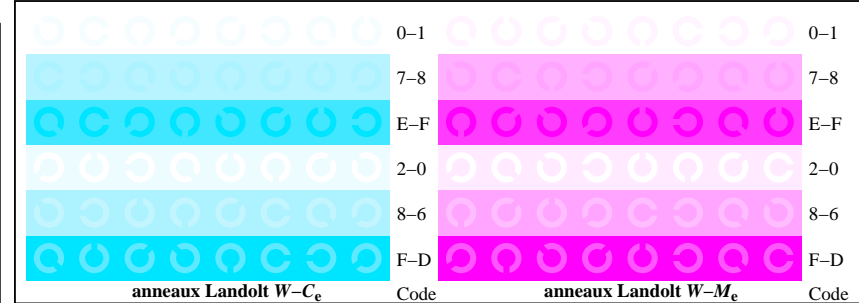
TF921-3, Fig. B5Wde: code et Landolt anneau  $N$ ;  $C_e$ ;  $M_e$ ;  $Y_e$ ;  $Z$ ; PS operator  $rgb \rightarrow rgb_{de}$  setrgbcolor



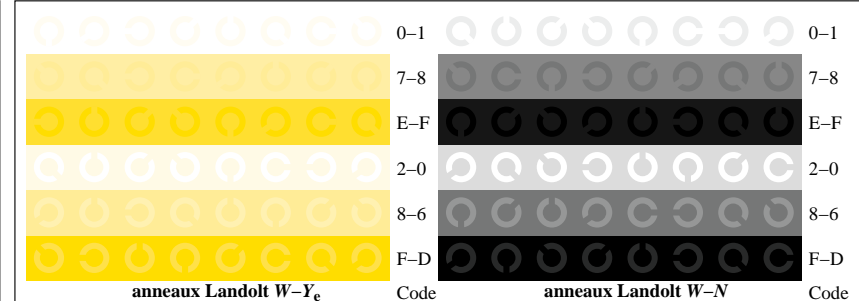
TF920-5, Fig. B2Wde: radial callobotis  $W-C_e$ ;  $W-M_e$ ;  $W-Y_e$ ;  $W-N$ ; PS operator  $rgb \rightarrow rgb_{de}$  setrgbcolor



TF920-7, Fig. B3Wde: 14 CIE test couleurs et 2 + 16 gris étapes (sf);  $rgb/cmy_0 \rightarrow rgb_{de}$  setrgbcolor



TF921-5, Fig. B6Wde: anneaux Landolt  $W-C_e$ ;  $W-M_e$ ; PS operator  $rgb \rightarrow rgb_{de}$  setrgbcolor



TF921-7, Fig. B7Wde: anneaux Landolt  $W-Y_e$ ;  $W-N$ ; PS operator  $rgb \rightarrow rgb_{de}$  setrgbcolor